

Cercetări marine	L. R. C. M.	nr. 3	75 - 93	1972
------------------	-------------	-------	---------	------

## CONTRIBUTIONS A L'ETUDE DES NEMATODES LIBRES DU LITTORAL ROUMAIN DE LA MER NOIRE

**Teodora Onciu**

Institut Roumain de Recherches Marines  
Section - Prof. Ion Borcea - Agigea  
Roumanie

### A b s t r a c t

This paper presents the systematic study of 14 species of free - living Nematoda in the infralittoral and supralittoral levels of the Romanian Black Sea coast. Nine of the mentioned species are new for the fauna of Romania. The description of *De Man'sorgan* is completed for *Metaparoncholaimus campylocercus*. Some data are given about the post-embryonic development of the larvar stages of *Enoplus quadridentatus* and *Cyatholaimus gracilis*.

Jusqu'à présent, la faune de Nématodes du Bassin Pontique et, particulièrement, celle du littoral roumain de la Mer Noire, est relativement peu connue. La première contribution à l'étude de la faune de Nématodes de la Mer Noire a été apportée par FILIPJEV (1918), qui a présenté dans son ouvrage de synthèse 81 espèces pour le littoral russe de la Mer Noire, dont 70 constituaient des nouveautés pour la science. L'on y affirmait également, qu'en général, la faune de Nématodes de la Mer Noire et de la Mer d'Azov a un caractère de faune méditerranéenne appauvrie.

C'est en rédigeant la section concernant les Nématodes, que PLATONOVA (1968) - un des auteurs du déterminateur de la faune de la Mer Noire et de la Mer d'Azov - reprenne, sans modifications essentielles, les données de l'ouvrage de FILIPJEV (1918).

A partir du matériel prélevé par CASPERS sur la côte bulgare, GERLACH (1951) donne une liste de 23 espèces.

En Roumanie, l'étude des Nématodes marines a été abordée par PALADIAN (1962, 1963, 1965), qui décrit 13 nouvelles espèces pour la faune roumaine.

Des recherches concernant les Nématodes du littoral roumain ont été également effectuées par ANDRIESCU (1963). Certaines données quantitatives et écologiques sur les Nématodes du littoral roumain de la Mer Noire ont été publiées dans les ouvrages d'écologie marine (BACESCU et al., 1971).

Étant donnée l'importance de ce groupe dans l'économie benthale, la présente note apporte une modeste contribution à la connaissance de la faune de Nématodes du littoral roumain de la Mer Noire x).

Le matériel a été prélevé qualitativement de sédiments sablonneux et d'algues, aussi que de l'interstitiel supra-et infralittoral des zones Cap Midia, Mamaia, Agigea et Vama Veche.

Le tri, exclusivement sur matériel vivant, a été suivi par des observations au microscope, matérialisées par des croquis. Le matériel a été fixé dans le mélange de DITLEVSEN (le liquide FAA) et conservé en alcool de 70°. Pour assurer la transparence on a utilisé soit un mélange de glycérine et alcool de 70° en parties égales, soit du lactophénole.

Les 14 espèces de Nématodes marines, appartenant à la sous-classe Adenophorea (Aphasmida) et constituant l'objet de la présente note, correspondent aux descriptions faites par FILIPJEV (1918), GERLACH (1951), SCHUURMANS - STEKHOVEN (1935) et WIESER (1954, 1955).

Dans la présente note l'on emploie les indices biométriques d'après DE MAN, à savoir:

- la longueur totale (L) en  $\mu$  ;

- l'indice a =  $\frac{\text{longueur totale}}{\text{diamètre maximum}}$  ;

---

x) L'auteur remercie aux Dr. VALERIA MACK-FRA et dr. GABRIELA PALADIAN pour leur assistance.

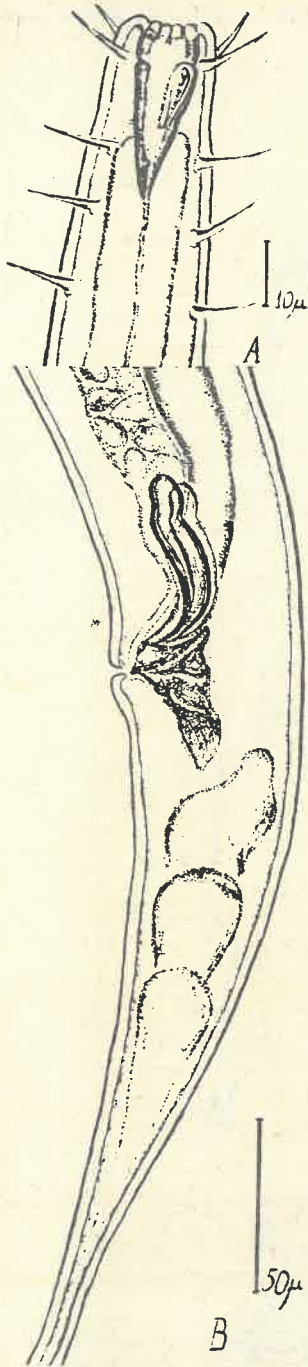


Fig. 1. Axonolaimus ponticus

A = ♀ région céphalique

B = ♂ région caudale

- l'indice  $b = \frac{\text{longueur totale}}{\text{longueur de l'oesophage}}$

- l'indice  $c = \frac{\text{longueur totale}}{\text{longueur de la queue}}$

- l'indice  $V\%$  = la disposition de l'orifice génital ♀, exprimée en % de la longueur totale du corps

## I. Ordre des Araeolaimida

### Famille des Axonolaimidae

#### 1. Axonolaimus ponticus FILIPJEV, 1918

Matériel: 14 ♀♀, 5 ♂♂, 5 juvéniles prélevés à Agigea (23.07.69 et 10.08.70) du sable déposé à la base des algues (Enteromorpha et Ceramium), à 0,7 m de profondeur, la température de l'eau étant de 27°C.

#### Indices biométriques:

♀ L = 2050 - 2750 µ, ♂ L = 1728,5 - 2814 µ

a = 26 - 39,2 ; a = 33,6 - 43,7 ;

b = 6,2 - 13,5 ; b = 9 - 9,7 ;

c = 10,4 - 13,2 ; c = 9,8 - 13,3

V = 49,5 - 57,3%

Juv. L = 1728 - 2485,7 µ ;

a = 34,5 - 44,7 ; b = 8,7 - 14,5 ;

c = 10,5 - 15

Observations: L'espèce vit à de profondeur de 30 - 100 m, sur fond sablonneux; également elle constitue des populations massives dans la biocénose associée aux champs de Zostera (PLATONOVA, 1968). Immigrant méditerranéen, Axonolaimus ponticus a encore été trouvé dans la Mer Noire à

Sébastopol (FILIPJEV, 1918) et à Varna (GERLACH, 1951), ainsi que dans la Méditerranée (PLATONOVA, 1968).

Famille de Tripyloidae

2. Tripyloides marinus BÜTSCHLI, 1874

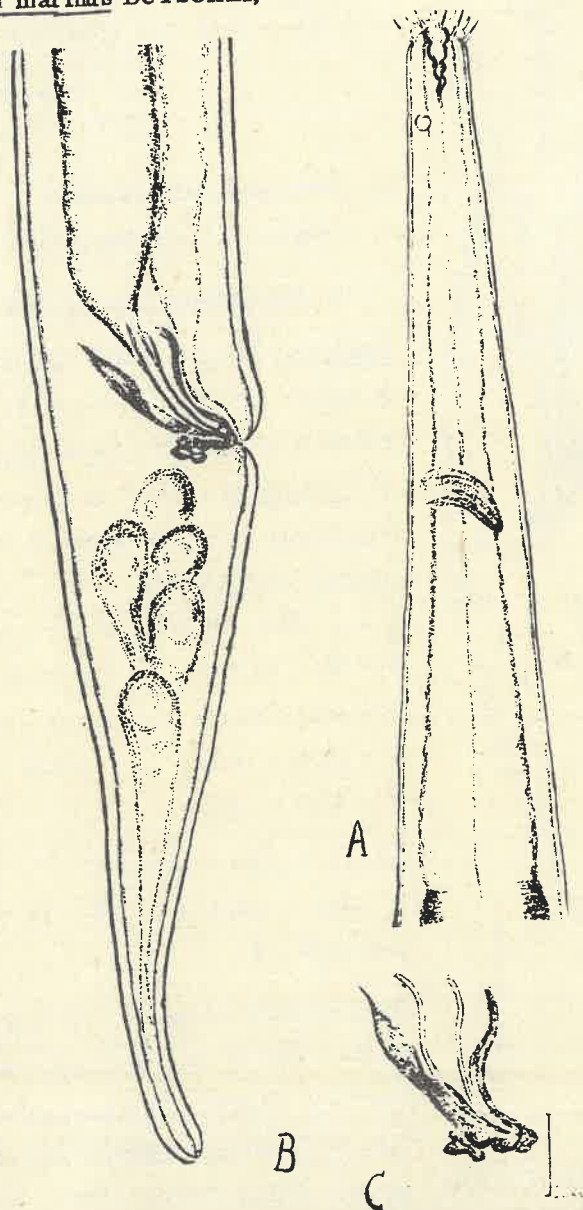


Fig. 2. Tripyloides marinus ♂

A = région oesophagienne; B = région caudale ; C = appareil copulateur

Matériel: 6 ♀♀ , 3 ♂♂ , prélevés à Agigea (10.08.70) du sable, déposité à la base des algues (Enteromorpha et Ceramium), à 0,7 m de profondeur, la température de l'eau étant de 27°C.

Indices biométriques:

$$\text{♀ L} = 1408 - 1685 \mu ;$$

$$a = 22,4 - 45; b = 7,3 - 10,3; c = 6,8 - 13,3; V = 53,3\%$$

$$\text{♂ L} = 1171,5 - 1390 \mu ;$$

$$a = 25 - 44,5; b = 6,2 - 8 ; c = 9,3 - 9,7$$

Observations: Espèces cosmopolite, a été trouvée dans la Mer Noire - à Sébastopol (FILIPJEV, 1918) et à Varna (GERLACH, 1951) - dans la Méditerranée (PLATONOVA, 1968), ainsi que sur la côte ouest de la Suède (ALLGÉN, 1929).

II. Ordre des Monhysterida

Famille des Monhysteridae

3. Theristus setosus BÜTSCHLI

Matériel: 4 ♀♀ , 1 ♂, prélevés à Agigea (16.08.70) de sédiments sablonneux, déposés sur des rochers, à 0,5 m de profondeur, la température de l'eau étant de 24°C.

Indices biométriques:

$$\text{♀ L} = 1522 - 1750 \mu ;$$

$$a = 17,0 - 23,0 ; b = 5 - 6; c = 7 - 8; V = 67,3 - 70\%$$

$$\text{♂ L} = 1187,5 \mu ;$$

$$a = 13,0 ; b = 5; c = 7,1$$

Observations: Espèces cosmopolite, dont la présence est citée dans la Mer Noire à Sébastopol (FILIPJEV, 1918) et dans la Mer du Nord (ALLGÉN, 1929), Theristus setosus se trouve dans les biocénoses associées aux sables littoraux, dans l'eau saumâtre et - quelquefois - dans le sol (SCHUURMANS - STEKHOVEN, 1935).

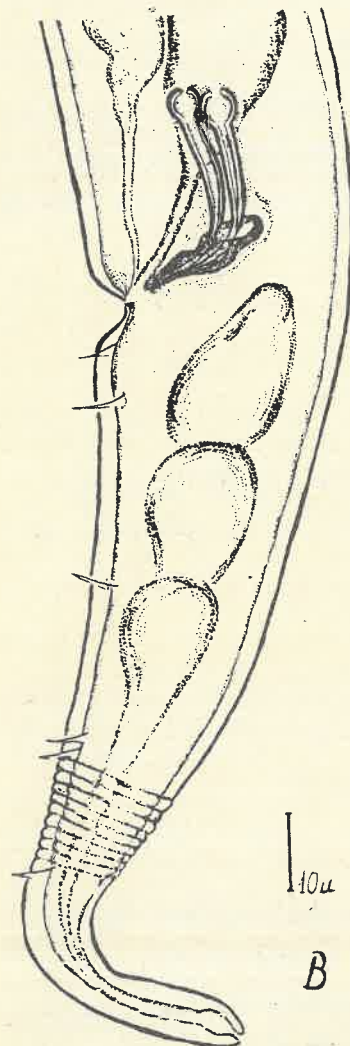
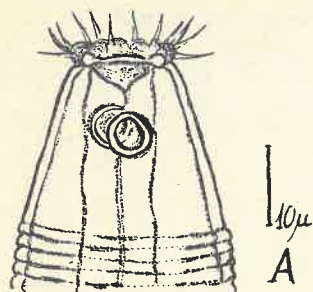


Fig. 3. Theristus oxycoercus

A = ♀ région céphalique

B = ♂ région caudale

4. Theristus oxycoercus De MAN, 1858

Matériel: 1 ♀, 1 ♂ prélevés à Agigea (16.08.70), de sédiments sablonneux déposés sur des rochers, à 0,5 m de profondeur, la température de l'eau étant de 24°C.

Indices biométriques:

♀ L = 855,33 μ;

a = 16,9; b = 5,5; c = 7,4; V = 72,3%

♂ L = 1063 μ;

a = 15,8; b = 5,4; c = 6,6

Observations: Répandu dans la Mer Noire - à Sébastopol (FILIPJEV, 1918) et à Varna (GERLACH, 1951) - dans la Méditerranée et la Mer du Nord (SCHUURMANS-STEKHOVEN 1935), Theristus oxycoercus est une espèce cosmopolite.

III. Ordre des Chromadorida

Famille des Chromadoridae

5. Chromadora nudicapitata BASTIAN, 1865

Matériel: 14 ♀♀, 10 ♂♂, 5 juvéniles, provenant de sédiments sablonneux d' Agigea (20.07.69 et 16.08.70), de Mamaia (24.08.70) et du Cap Midia (05.12.70) à 0,5 m de profondeur, ainsi que d'épibiose des coquilles de Mytilus - à Vama Veche (31.07.70).

Indices biométriques:

♀ L = 568,7 - 735 μ;

a = 15 - 17; b = 5,4 - 10,4;

c = 5,3 - 8,7; V = 47,6 - 51%

♂ L = 718,7 - 9531  $\mu$ ;

a = 14,7 - 7 - 23; b = 5,7 - 10,7; c = 7,2 - 9,3

Juv. L = 424  $\mu$ ;

a = 12,5; b = 4,3; c = 6,2

Observations : Espèce caractérisée par une large dispersion géographique, Chromadora nudicapitata se trouve dans la Mer Noire - à Sébastopol (FILIPJEV, 1918), Varna (GERLACH, 1951) et Agigea (PALADIAN, 1965) - la Méditerranée (WIESER, 1954, ALLGÉN, 1929), la Mer du Nord et sur la côte américaine du Pacifique (ALLGÉN, 1929, 1959).

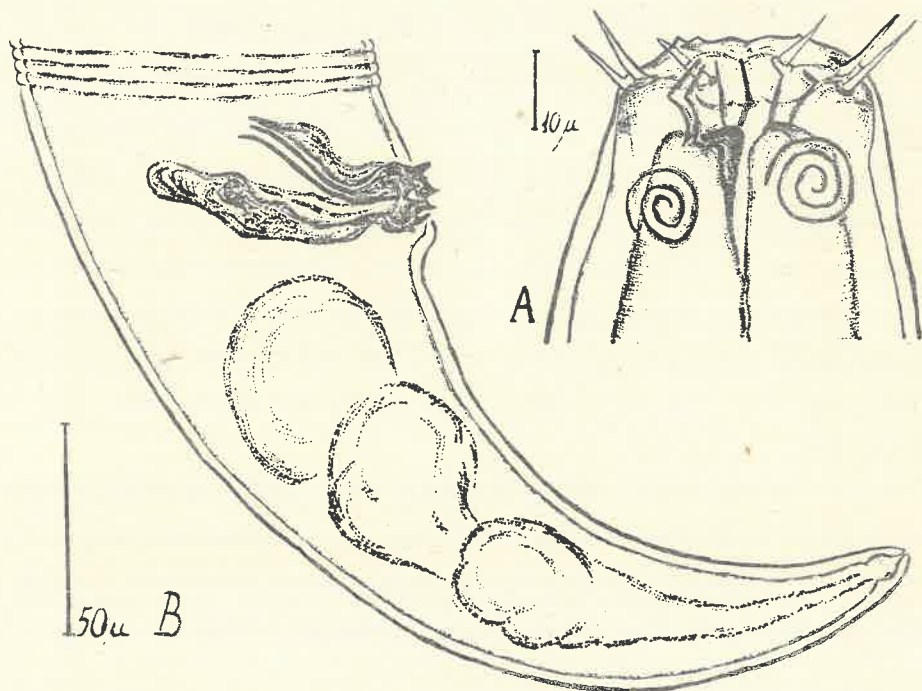


Fig. 4. Cyatholaimus gracilis

A = ♀ région cephalique ; B = ♂ région caudale

Famille des Cyatholaimidae

6. Cyatholaimus gracilis (EBERTH, 1863) MIKOLETZKY, 1924

Matériel: 7 ♀♀, 9 ♂♂, 12 juvéniles, prélevés à Agigea (18.07.69) et 19.08.70) de sédiments sablonneux déposés sur des rochers, à 2 m de profondeur, ainsi qu'à Vama Veche (31.07.70) de l'épibiose des

coquilles de Mytilus, à 2 m de profondeur, la température de l'eau étant de 18°C.

Indices biométriques :

$$\varphi \text{ L} = 1500 - 2470 \mu;$$

$$a = 19,2 - 23,4; b = 5 - 14,7; c = 8,7 - 11,5; V = 45,4-52\%$$

$$\hat{\sigma} \text{ L} = 2015,6 - 2668,7 \mu;$$

$$a = 15 - 31; b = 8,4 - 10,4; c = 10,2 - 12,2$$

$$\text{Juv. L} = 1065,1 - 1300 \mu;$$

$$a = 16,6 - 17,5; b = 5,6 - 6,5; c = 8,2 - 18,8$$

Observations et commentaires: WIESER (1955) estime que Cyatholaimus demani de la Mer Noire, décrit par FILIPJEV (1918), est synonyme au C. gracilis. L'étude effectuée sur les exemplaires prélevés sur les côtes roumaines de la Mer Noire raffermit la révision systématique faite par l'auteur autrichien, puisque les caractères taxonomiques correspondent aux descriptions d'autres auteurs aussi, faites à partir de matériaux de C. gracilis prélevés, soit de la Méditerranée et de la Mer Noire (ALLGÉN, 1929, 1951), soit toujours de la Mer Noire, mais de Varna (GERLACH, 1951).

L'examen des stades larvaires, dont on a pu disposer, montre qu'au cours du développement postembryonnaire, parallèlement avec la croissance de l'animal en longueur, la région oesophagienne est la première qui atteint les dimensions caractéristiques de l'adulte.

Famille des Choanolaimidae

7. Halichoanolaimus clavicauda FILIPJEV, 1918

Matériel: 7 ♀♀, 2 ♂♂ et 1 juvénile, prélevés à Agigea (16.08.70) de sédiments sablonneaux déposés sur des rochers à 1 m de profondeur, la température de l'eau étant de 24°C.

Indices biométriques:

$$\varphi \text{ L} = 1906 - 2068,7 \mu;$$

$$a = 19 - 30,7; b = 7,6 - 19; c = 11,1 - 20; V = 41 - 51,5\%$$

$$\sigma L = 2125 - 2415,1 \mu ;$$

$$a = 26,1 - 28; b = 7,5 - 10,3 ; c = 19 - 21,2$$

$$\text{Juv. } L = 2250 \mu;$$

$$a = 27 ; b = 8,1 ; c = 26,5$$

Endémisme de la Mer Noire, Halichoanolaimus clavicauda est généralement rencontré dans les biocénoses de sable (PALADIAN, 1965).

#### IV. Ordre des Enoplida

Famille des Oxystominidae

##### 8. Oxystomina elongata BÜTSCHLI, 1874

Matériel: 1  $\sigma$  provenant de Vama Veche (31.07.70) d'épibiose des coquilles de Mytilus, à 2 m de profondeur.

##### Indices biométriques:

$$\sigma L = 2973,9 ;$$

$$a = 40,2; b = 4,4 ; c = 10,5$$

Observations: Espèce cosmopolite, rencontrée surtout dans les biocénoses profonds, Oxystomina elongata a été citée pour la Mer Noire à Sébastopol (FILIPJEV, 1918), pour la Mer d'Azov (PLATONOVA, 1968), la Mer du Nord (ALLGÉN, 1929), ainsi que pour les côtes de l'Australie, où elle atteint une profondeur de 200 m (SCHUURMANS-STEKHOVEN, 1935).

Famille des Enoplidae

##### 9. Enoplus quadridentatus BERLIN

Matériel: 1  $\varnothing$ , 1  $\sigma$ , 17 juvéniles, prélevés à Vama Veche (31.07.70) dans l'interstitiel supralittoral et à Agigea (10.03.70) de sédiments sablonneux déposés sur des rochers à 2 m de profondeur, la température de l'eau étant de 24°C.

##### Indices biométriques:

$$\varnothing L = 8457,1 \mu;$$

$$a = 65,7 ; b = 6,7 ; c = 28,1; V = 52,8\%$$

$$\delta \quad L = 8107,1 \mu;$$

$$a = 75,6; b = 9,2; c = 27.$$

Observations et commentaires: La position systématique de l'espèce Enoplus quadridentatus est controversée. PALADIAN (1965) considère synonyme l'espèce E. euxinicus FILIPJEV, 1918, avec E. quadridentatus BERLIN. D'un autre côté, ALLGÉN (1924), GERLACH (1951), WIESER (1952) estiment que la même espèce - E. euxinicus - est synonyme à l'espèce E. hirtus MARION, 1870. Étant donné que le statut de cette espèce n'est pas encore élucidé, on a maintenu dans la présente note la classification systématique adoptée par PALADIAN.

E. quadridentatus est considéré comme un endémisme de la Mer Noir. Il a été trouvé aussi à de profondeurs de 57 m, sur fond vaseux, dans une association typique de Modiolus et Amphiura, ainsi que dans les champs de Phyllophora (PALADIAN, 1962). Pendant l'été, des exemplaires juvéniles abondent dans les sables à petite profondeur.

L'analyse du matériel de juvéniles montre que la région oesophagienne croît proportionnellement en longueur dans les derniers stades larvaires, sans que la longueur de l'oesophage dans le IV<sup>ème</sup> stade soit devenue l'égale de celle de l'adulte. La même constatation est valable aussi pour la région caudale. Les indices biométriques établis pour les exemplaires juvéniles dans différents stades de développement post-embryonnaire, synthétisés séparément (voir le tableau no. 1), confirment les résultats de FILIPJEV et MICHAELOVA (1932) (cf. GRASSÉ, 1965) sur le développement post-embryonnaire, obtenus par les auteurs cités ci-dessous dans le cas de E. communis BASTIAN, 1865.

Famille des Oncholaimidae

10. Oncholaimus breviacaudatus FILIPJEV, 1918.

Matériel: 3 ♂♂ provenant d'Agigea (13.07.69) de sédiments sablonneux, à 0,5 m de profondeur.

Indices biométriques: ♂ L = 2878,2 - 3226  $\mu$ ;

a = 38,9-43,6; b = 68,8-7,9; c = 60,2-67,4; V = 61,1 - 64,6%

Tableau 1

Indices biométriques pour 17 exemplaires juvéniles  
de Enoplus quadridentatus

Longueur totale ( $\mu$ )	a =	b =	c =
	$\frac{\text{longueur totale}}{\text{diamètre maximum}}$	$\frac{\text{longueur totale}}{\text{longueur de l'oesophage}}$	$\frac{\text{longueur totale}}{\text{longueur de la queue}}$
3210,0	34,3	5,4	16,4
3295,2	34,6	5,0	10,5
3300,0	31,5	5,7	15,7
3500,0	33,4	5,2	13,1
3704,7	30,6	5,7	14,2
3723,8	35,4	5,5	10,7
3761,9	26,3	5,6	11,3
3761,9	30,4	5,6	10,0
3857,1	25,7	5,6	13,1
4238,0	34,2	5,2	17,1
4342,8	34,0	6,0	12,3
4609,5	32,2	6,6	16,1
5000,0	36,6	6,1	16,4
5476,1	41,0	6,7	18,0
5523,8	38,6	6,8	17,0
5542,8	32,3	6,3	16,5
5619,0	39,3	7,2	17,6

Observations: Immigrant méditerranéen, Oncholaimus brevicudatus a été également cité dans la Mer Noire à Sébastopol (FILIPJEV, 1918) et dans la Méditerranée (PLATONOVA, 1968).

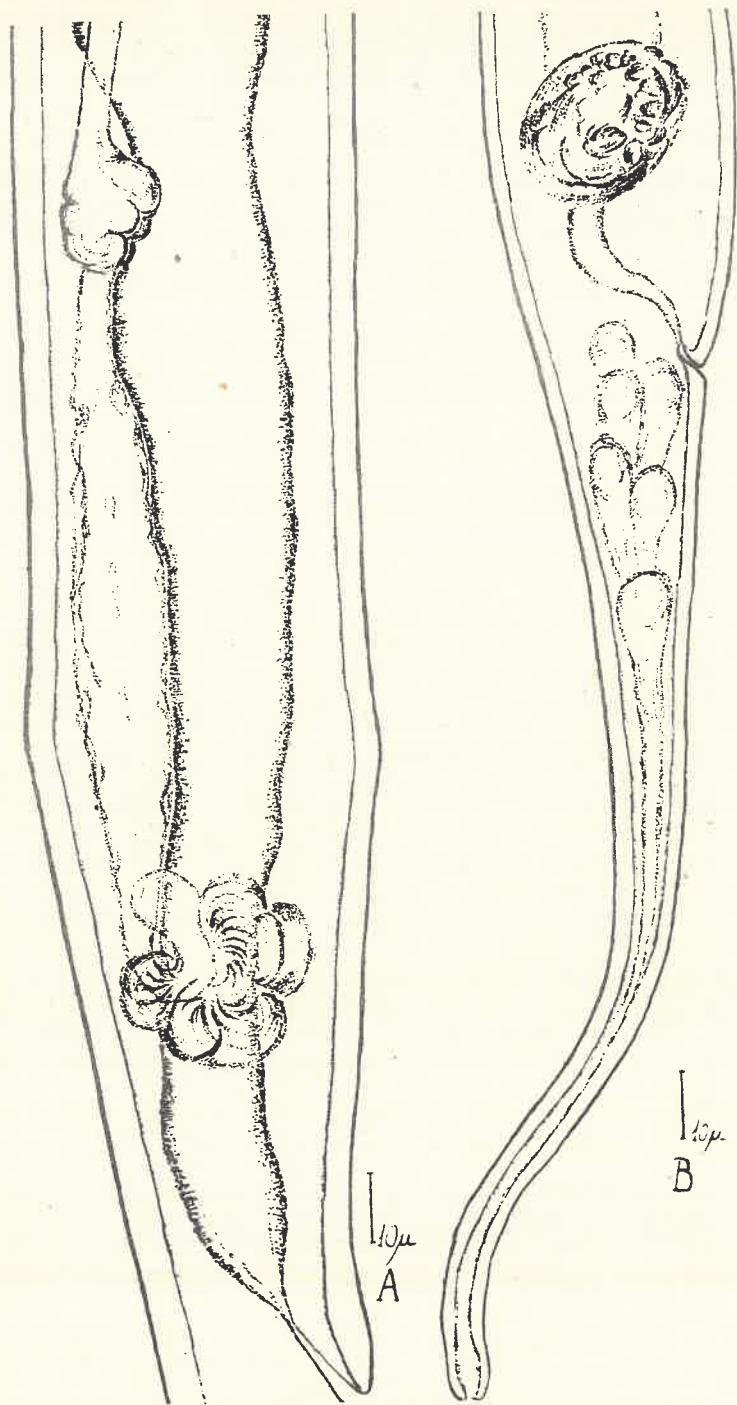


Fig. 5. L'organe de De Man  
 A = Metaparoncholaimus campylocercus; B = Voscosia cobbi

11. Metaparoncholaimus campylocercus (DE MAN) DE CONINCK et  
SCHUURMANS-STEKHOVEN, 1938

Matériel: 6 ♀♀, 4 ♂♂, 3 juvéniles, prélevés à Agigea (13.08.70) de sédiments déposés sur des rochers, à Mamaia (24.08.70) et au Cap Midia (05.12.70), dans de sédiments sablonneux, à 0,5 m de profondeur.

Indices biométriques:

$$\text{♀ L} = 3571,4 - 4071,4 \mu$$

$$a = 47 - 58; b = 6,8 - 8,2; c = 20 - 36,6; V = 67 - 76\%$$

$$\text{♂ L} = 3214,2 - 4142,8 \mu$$

$$a = 51,64,2; b = 7,1 - 8,5; c = 71,6 - 28,6$$

$$\text{juv. L} = 2214,2 - 3071,4 \mu$$

$$a = 44,7 - 77,5; b = 5,5 - 7,1; c = 18,1 - 22,6$$

Observations et commentaires: en prenant en considération seulement les descriptions faites par FILIPJEV (1918) sur l'espèce Oncholaimus campylocercoides DE MAN, 1878 de la Mer Noire, de CONINCK et SCHUURMANS-STEKHOVEN, 1933 créent - à partir de la position et de la structure de l'armature buccale - le genre Metaparonchilaimus avec l'espèce M. campylocercus. Dans l'ouvrage concernant les Nématodes de la Mer Noire (1951), GERLACH fait mention de cette espèce, en utilisant toujours l'ancienne dénomination. Partant du fait que CHITWOOD (cf. GRASSÉ, 1965) remet l'espèce O. campylocercus dans le genre Metaparoncholaimus, on a adopté dans la présent note cette dernière classification systématique.

Espèce cosmopolite, M. campylocercus a été citée dans la Mer Noire - à Sébastopol (FILIPJEV, 1918) et à Varna (GERLACH, 1951) - dans la Méditerranée et dans la Mer du Nord (SCHUURMANS-STEKHOVEN, 1935).

On peut ajouter, à la description donnée par GERLACH pour l'organe de De Man de cette espèce (1951), la présence du tube éphérent,

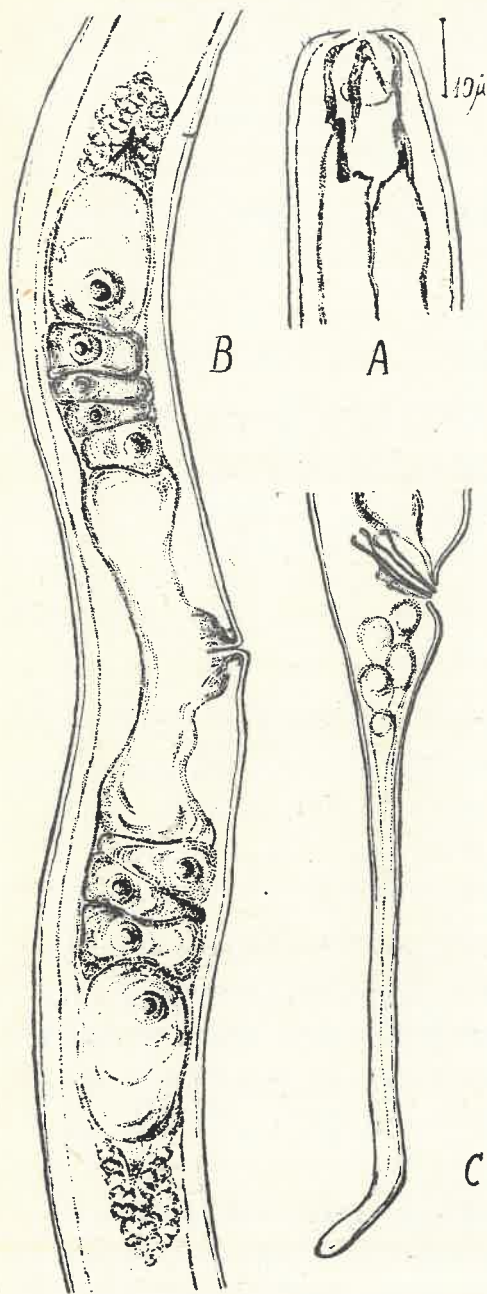


Fig. 6. *Viscosia cobbi*

A = ♂ région céphalique

B = ♀ ovaire

C = ♂ région caudale

établie à partir des observations sur le matériel provenant du littoral roumain du bassin pontique. Les parois de ce tube ont une épaisseur de 5 ; la liaison avec l'intestin est assurée par une portion dilatée, légèrement lobée, au diamètre de 20 . Le canal intestinal éphérent, de 120,8 en longueur, s'élargit dans sa portion médiane; il est uni par un segment en "cul de sac" de 28,8 à la formation "en rosette", de 27,5 de diamètre et disposée à 54,1 par rapport à l'anus (fig. n<sup>o</sup> 5)

12. *Viscosia cobbi* FILIPJEV, 1918

Matériel: 4 ♀♀, 1 ♂, 1 juvénile, provenant d'Agigea (10.08.70), de sédiments sablonneux déposés aussi bien sur des rochers, qu'à la base des algues (*Enteromorpha* et *Ceramium*) à 0,7 m de profondeur, la température de l'eau étant de 27°C. On en a prélevé aussi à Mamaia.

Indices biométriques:

C ♀ L = 1485-3051,8 µ

a = 36,3 - 47,6; b = 5,4 - 5,7;

c = 8,5 - 10,7;

V = 42,9 - 53,6%

♂ L = 2588,8 µ

a = 26,8; b = 26,8; c = 6,4

juv. L = 1171,8  $\mu$

a = 44; b = 5,2 ; c = 7,6

Observations: Immigrant méditerranéen, cité dans la Mer Noire à Sébastopol (FILIPJEV, 1918) et dans la Méditerranée (PLATONOVA, 1968), Viscosia cobbi peuplit de biotopes variés, sables à Amphioxus et dans les biocénoses à Mytilus (PLATONOVA, 1968).

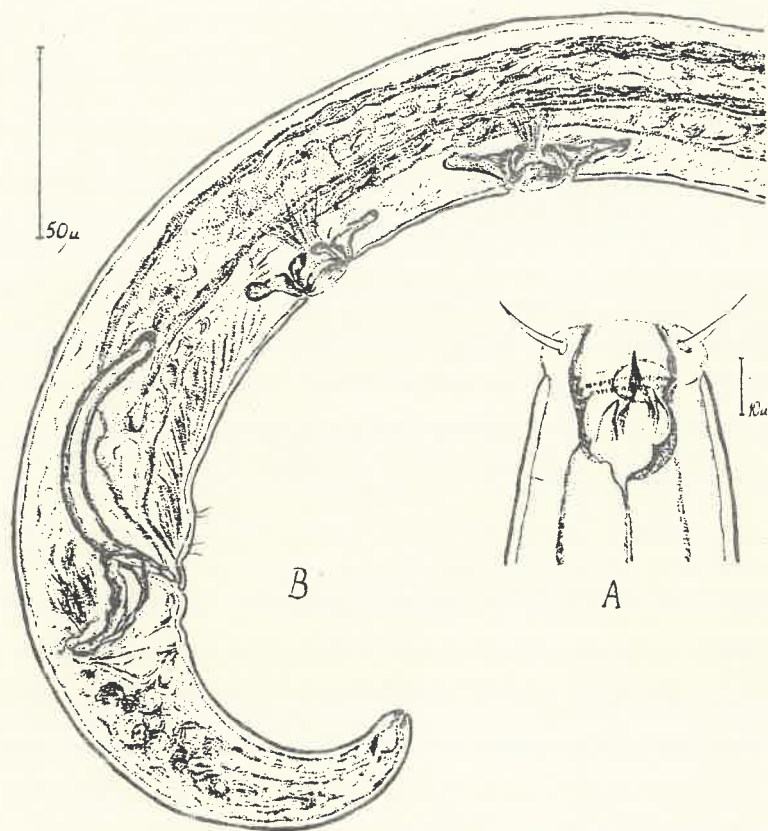


Fig. 7. Eurystomina ornatum

A = ♂ région céphalique; B = ♂ région postérieure du corps

Famille des Eurystominidae

13. Eurystomina ornatum (EBERTH, 1863), WIESER, 1955

Matériel: 1 ♀, 3 ♂♂, 6 juvéniles, prélevés à Agigea (20.07.69)

de sédiments sablonneux déposés sur des rochers à 2 m de profondeur, la température de l'eau étant de 27°C, à Vama Veche (31.07.70) dans l'épibiose des coquilles de Mytilus, à 2 m de profondeur et dans l'interstitiel du supralittoral.

Indices biométriques:

$$\text{♀ } L = 4562,4 \mu$$

$$a = 41,7; b = 7,3; c = 41,7; V = 68,4\%$$

$$\text{♂ } L = 4125 \mu$$

$$a = 44; b = 6,2; c = 44$$

$$\text{Juv. } L = 2281,2 \mu$$

$$a = 60,7 - 692,; b = 4,5 - 6; c = 20,8 - 32,3$$

Observations et commentaires: espèce caractérisée par une grande aire de dispersion, Eurystomina ornatum a été dans la Mer Noire à Sébastopol (FILIPJEV, 1918), Varna (GERLACH, 1951) et Agigea (PALADIAN, 1962), dans la Méditerranée, la Mer du Nord, près des îles de Hawaii, les côtes nordiques-américaines et australiennes - de l'Océan Pacifique, ainsi qu'au Japon (WIESER, 1955).

WIESER (1951), partant d'un matériel provenant du Japon, considère synonyme l'espèce Eurystomina assimilis (DE MAN, 1868) FILIPJEV (1968) avec E. ornatum EBERTH, 1863, bien qu'ultérieurement PLATONOVA 1918 la signale dans la Mer Noire en maintenant la désignation de FILIPJEV (1918), en dépit du fait que toutes ses caractéristiques taxonomiques imposent cette synonymie.

V. Ordre des Dorylaimida

Famille Dorylaimidae

14. Dorylaimus sp.

Matériel: 1 juvénile prélevé à Agigea (16.08.70) de sédiments déposés sur des rochers.

Indices biométriques:

$$\text{Juv. } L = 2571 \mu$$

$$a = 30; b = 40,1; c = 20,2$$

Observations: étant donné qu'on n'a pu disposer que d'un seul exemplaire juvénile, on a pu établir le genre à partir de l'armature buccale.

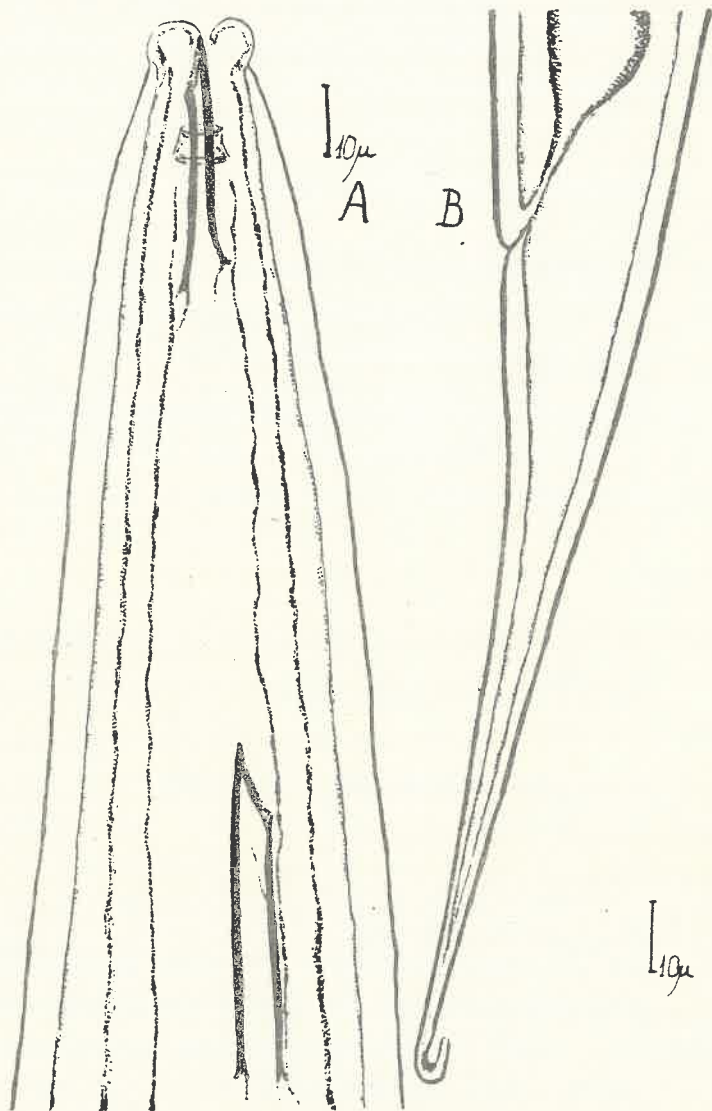


Fig. 8. Dorylaimus sp. juvénile

A = région antérieure du corps; B = région caudale

#### Conclusions

Le travail présente l'étude de 14 espèces de Nématodes marines, faisant partie de la sousclasse Adenophorea (Aphasmida) et appartenant

à cinq ordres (Araeolaimida, Monhysterida, Chromadorida, Enoplida et Dorylaimida).

Parmi les espèces présentées dans la note il y en a neuf (Axonolaimus ponticus, Tripylodes marinus, Theristus setosus, T. oxycoercus, Cyatholaimus gracilis, Oxystomina elongata, Oncholaimus breviscaudatus, Metaparoncholaimus campylocercus et Viscosia cobbi qui sont cités pour la première fois sur le littoral roumain de la Mer Noire, le nombre des espèces de Nématodes décrites sur les côtes de la Roumanie s'élevant à 30.

On présente des données concernant le développement post-embryonnaire des espèces Cyatholaimus gracilis et Enoplus quadridentatus obtenues à partir de l'étude de leur stade larvaire.

L'étude du matériel de Metaparoncholaimus campylocercus a permis de compléter la description de l'organe de De Man donnée par GERLACH (1951) pour cette espèce, en signalant le tube utérin éphérent.

#### Bibliographie

- ALLGÉN, C. - 1929 - Neue freilebende Nematoden von der Westküste Schwedens. Zool. Jahrb. System., vol. 57, pp. 431-496.
- ALLGÉN, C. - 1959 - Freelifving marine Nematodes. Further zoo. res. of the Schw. Antarct. Exp., 1901-1903, vol. 5, nr. 2.
- BĂCESCU, M., MÜLLER, G. I., GOMOIU, M. - 1971 - Ecologie marină vol. 4, Ed. Acad. R. S. România, București, 357 p.
- FILIPJEV, N. - 1929 - Freilebende marine Nematoden aus der Umgebung von Sevastopol. Trav. Lab. Zoc. et de la Station Biol. Sébastopol, près de l'Acad. des Scie. de Russie, ser. 2, vol. 4.
- GERLACH, S. A. - 1951 - Freilebende Nematoden aus Varna an der bulgarischen Küste des Schwarzen Meers. Arch. für Hydrob. vol. 19, pp. 193-221.
- GRASSE, P. - 1965 - Nematodes. Traité de Zoologie, vol. 4, nr. 2, Ed. Masson et Cie., Paris, 741 p.
- PALADIAN, GABRIELA - 1962 - Contributions à l'étude des Nematodes libres du littoral roumain de la Mer Noire. Trav. Mus. Hist. Nat. "Gr. Antipa", vol. 3, pp. 69 - 74

- PALADIAN, GABRIELA - 1963 - Contributions à l'étude des Desmoscolecidae des eaux roumaines de la Mer Noire. Trav. Mus. Hist. Nat. "Gr. Antipa", vol. 4, pp. 167-173.
- PALADIAN, GABRIELA - 1963 - Données sur les Nématodes de benthos profond de la Mer Noire. (Littoral roumain). Proc. verb. des réün. de la C. I. E. S. M., vol. 17, ser. 2.
- PALADIAN, GABRIELA - 1965 - Some Chromadorides (free living Nematode) from the rocky facies of the Black See (Roumanien shore). Trav. Mus. Hist. Nat. "Gr. Antipa", vol. 5, pp. 167-173.
- PLATONOVA, T. A. - 1968 - Nematoda. Opredeleteli faunı Cernogo i Azovskogo Morei, vol. 1, Akad. Nauk Ukr. S. S. R. Izd. Naukova Dunka. Kiev, 423 p.
- SCHUUR MANS-STEKHOVEN - 1935 - Nematoda. Tierwelt der Nord und Ostsee, vol. 5, Leipzig.
- WIESER, W. - 1954 - Free living Marine Nematodes (II) Chromadoroidea. Rap. of the Lund Univ. Chile Exp. 1948 - 1949, vol. 17,
- WIESER, W. - 1955 - Eine Sammlung mariner Nematoden aus Piraeus Griechenland) Öst. zool. Zschr. vol. 6, ser. 3/5.
- WIESER, W. - 1955 - A collection of Marine Nematodes from Japan. Publ. Seto, Mar. Biol. Lab., vol. 4, nr. 2-3.
- WIESER, W. - 1965 - Free living Marine Nematodes (III), Axonolaimoidea and Monhysteroidea. Rap. of the Lund Univ. Chile Exp. 1948-1949, vol. 26.
- WIESER, W. - 1967 - Marine Nematodes of the east Coast of North America. Florida. Bull. Mus. Comp. Zool. vol. 135, nr. 6, pp. 239-344.